

Starkniederschlagshöhen und -spenden gemäß KOSTRA-DWD-2020

Rasterfeld 123167

(Zeile 123, Spalte 167)

Regenspende und Bemessungsniederschlagswerte in Abhängigkeit von Wiederkehrzeit T und Dauerstufe D

| Dauerstufe D | Wiederkehrzeit T | | | | | | | | | | | | | | | | | |
|--------------|------------------|---------------|---------------|---------------|---------------|---------------|---------------|---------------|---------------|---------------|---------------|---------------|---------------|---------------|---------------|---------------|---------------|---------------|
| | 1 a | 2 a | 3 a | 5 a | 10 a | 20 a | 30 a | 50 a | 100 a | 1 a | 2 a | 3 a | 5 a | 10 a | 20 a | 30 a | 50 a | 100 a |
| min Std | mm l / (s ha) | mm l / (s ha) | mm l / (s ha) | mm l / (s ha) | mm l / (s ha) | mm l / (s ha) | mm l / (s ha) | mm l / (s ha) | mm l / (s ha) | mm l / (s ha) | mm l / (s ha) | mm l / (s ha) | mm l / (s ha) | mm l / (s ha) | mm l / (s ha) | mm l / (s ha) | mm l / (s ha) | mm l / (s ha) |
| 5 | | 6,6 220,0 | 8,4 280,0 | 9,4 313,3 | 10,9 363,3 | 12,9 430,0 | 15,0 500,0 | 16,4 546,7 | 18,2 606,7 | 20,8 693,3 | | | | | | | | |
| 10 | | 9,0 150,0 | 11,4 190,0 | 12,8 213,3 | 14,7 245,0 | 17,5 291,7 | 20,4 340,0 | 22,2 370,0 | 24,7 411,7 | 28,2 470,0 | | | | | | | | |
| 15 | | 10,4 115,6 | 13,1 145,6 | 14,8 164,4 | 17,0 188,9 | 20,2 224,4 | 23,5 261,1 | 25,7 285,6 | 28,5 316,7 | 32,6 362,2 | | | | | | | | |
| 20 | | 11,4 95,0 | 14,3 119,2 | 16,2 135,0 | 18,6 155,0 | 22,1 184,2 | 25,7 214,2 | 28,1 234,2 | 31,2 260,0 | 35,6 296,7 | | | | | | | | |
| 30 | | 12,7 70,6 | 16,0 88,9 | 18,1 100,6 | 20,8 115,6 | 24,7 137,2 | 28,8 160,0 | 31,4 174,4 | 34,9 193,9 | 39,9 221,7 | | | | | | | | |
| 45 | | 14,1 52,2 | 17,8 65,9 | 20,0 74,1 | 23,0 85,2 | 27,4 101,5 | 31,8 117,8 | 34,8 128,9 | 38,6 143,0 | 44,1 163,3 | | | | | | | | |
| 60 | 1 | 15,0 41,7 | 19,0 52,8 | 21,4 59,4 | 24,6 68,3 | 29,2 81,1 | 34,0 94,4 | 37,1 103,1 | 41,2 114,4 | 47,1 130,8 | | | | | | | | |
| 90 | 1,5 | 16,4 30,4 | 20,7 38,3 | 23,4 43,3 | 26,9 49,8 | 31,9 59,1 | 37,1 68,7 | 40,5 75,0 | 45,0 83,3 | 51,4 95,2 | | | | | | | | |
| 120 | 2 | 17,4 24,2 | 22,0 30,6 | 24,8 34,4 | 28,5 39,6 | 33,9 47,1 | 39,4 54,7 | 43,0 59,7 | 47,8 66,4 | 54,5 75,7 | | | | | | | | |
| 180 | 3 | 18,9 17,5 | 23,8 22,0 | 26,9 24,9 | 30,9 28,6 | 36,7 34,0 | 42,7 39,5 | 46,6 43,1 | 51,8 48,0 | 59,1 54,7 | | | | | | | | |
| 240 | 4 | 19,9 13,8 | 25,2 17,5 | 28,4 19,7 | 32,7 22,7 | 38,8 26,9 | 45,2 31,4 | 49,3 34,2 | 54,7 38,0 | 62,5 43,4 | | | | | | | | |
| 360 | 6 | 21,5 10,0 | 27,2 12,6 | 30,7 14,2 | 35,3 16,3 | 41,9 19,4 | 48,8 22,6 | 53,3 24,7 | 59,1 27,4 | 67,5 31,3 | | | | | | | | |
| 540 | 9 | 23,2 7,2 | 29,3 9,0 | 33,1 10,2 | 38,1 11,8 | 45,2 14,0 | 52,6 16,2 | 57,5 17,7 | 63,8 19,7 | 72,9 22,5 | | | | | | | | |
| 720 | 12 | 24,5 5,7 | 30,9 7,2 | 34,9 8,1 | 40,2 9,3 | 47,7 11,0 | 55,5 12,8 | 60,6 14,0 | 67,3 15,6 | 76,8 17,8 | | | | | | | | |
| 1080 | 18 | 26,4 4,1 | 33,3 5,1 | 37,6 5,8 | 43,3 6,7 | 51,4 7,9 | 59,8 9,2 | 65,3 10,1 | 72,5 11,2 | 82,8 12,8 | | | | | | | | |
| 1440 | 24 | 27,8 3,2 | 35,2 4,1 | 39,7 4,6 | 45,6 5,3 | 54,2 6,3 | 63,0 7,3 | 68,8 8,0 | 76,4 8,8 | 87,3 10,1 | | | | | | | | |
| 2880 | 48 | 31,6 1,8 | 39,9 2,3 | 45,0 2,6 | 51,8 3,0 | 61,5 3,6 | 71,5 4,1 | 78,1 4,5 | 86,7 5,0 | 99,1 5,7 | | | | | | | | |
| 4320 | 72 | 34,0 1,3 | 42,9 1,7 | 48,5 1,9 | 55,7 2,1 | 66,2 2,6 | 77,0 3,0 | 84,1 3,2 | 93,4 3,6 | 106,6 4,1 | | | | | | | | |
| 5760 | 96 | 35,8 1,0 | 45,2 1,3 | 51,1 1,5 | 58,7 1,7 | 69,8 2,0 | 81,2 2,3 | 88,6 2,6 | 98,4 2,8 | 112,4 3,3 | | | | | | | | |
| 7200 | 120 | 37,3 0,9 | 47,1 1,1 | 53,2 1,2 | 61,2 1,4 | 72,7 1,7 | 84,5 2,0 | 92,3 2,1 | 102,4 2,4 | 117,0 2,7 | | | | | | | | |
| 8640 | 144 | 38,6 0,7 | 48,7 0,9 | 55,0 1,1 | 63,2 1,2 | 75,1 1,4 | 87,3 1,7 | 95,4 1,8 | 105,9 2,0 | 120,9 2,3 | | | | | | | | |
| 10080 | 168 | 39,7 0,7 | 50,1 0,8 | 56,5 0,9 | 65,0 1,1 | 77,2 1,3 | 89,8 1,5 | 98,1 1,6 | 108,9 1,8 | 124,4 2,1 | | | | | | | | |

Starkniederschlagshöhen und -spenden gemäß KOSTRA-DWD-2020

Rasterfeld 123167

(Zeile 123, Spalte 167)

Örtliche Unsicherheiten in Abhängigkeit von Wiederkehrzeit T und Dauerstufe D

| Dauerstufe D | | Wiederkehrzeit T | | | | | | | | |
|--------------|-----|------------------|-----|-----|-----|------|------|------|------|-------|
| | | 1 a | 2 a | 3 a | 5 a | 10 a | 20 a | 30 a | 50 a | 100 a |
| min | Std | ± % | ± % | ± % | ± % | ± % | ± % | ± % | ± % | ± % |
| 5 | | 15 | 14 | 13 | 13 | 13 | 13 | 13 | 13 | 13 |
| 10 | | 10 | 12 | 12 | 13 | 14 | 15 | 15 | 16 | 16 |
| 15 | | 12 | 14 | 15 | 16 | 17 | 18 | 18 | 19 | 19 |
| 20 | | 13 | 15 | 16 | 17 | 19 | 20 | 20 | 21 | 21 |
| 30 | | 15 | 17 | 18 | 19 | 21 | 22 | 22 | 23 | 23 |
| 45 | | 16 | 18 | 20 | 21 | 22 | 23 | 24 | 24 | 25 |
| 60 | 1 | 16 | 19 | 20 | 21 | 23 | 24 | 24 | 25 | 25 |
| 90 | 1,5 | 17 | 19 | 20 | 22 | 23 | 24 | 24 | 25 | 26 |
| 120 | 2 | 17 | 19 | 20 | 21 | 23 | 24 | 24 | 25 | 26 |
| 180 | 3 | 16 | 19 | 20 | 21 | 22 | 23 | 24 | 25 | 25 |
| 240 | 4 | 16 | 18 | 20 | 21 | 22 | 23 | 23 | 24 | 25 |
| 360 | 6 | 15 | 18 | 19 | 20 | 21 | 22 | 23 | 23 | 24 |
| 540 | 9 | 15 | 17 | 18 | 19 | 21 | 22 | 22 | 23 | 23 |
| 720 | 12 | 15 | 17 | 18 | 19 | 20 | 21 | 21 | 22 | 23 |
| 1080 | 18 | 14 | 16 | 17 | 18 | 19 | 20 | 21 | 21 | 22 |
| 1440 | 24 | 14 | 16 | 17 | 18 | 19 | 20 | 20 | 21 | 21 |
| 2880 | 48 | 14 | 15 | 16 | 17 | 18 | 19 | 19 | 20 | 20 |
| 4320 | 72 | 14 | 15 | 16 | 17 | 18 | 18 | 19 | 19 | 20 |
| 5760 | 96 | 14 | 15 | 16 | 17 | 18 | 18 | 19 | 19 | 20 |
| 7200 | 120 | 15 | 15 | 16 | 17 | 17 | 18 | 18 | 19 | 19 |
| 8640 | 144 | 15 | 16 | 16 | 17 | 17 | 18 | 18 | 19 | 19 |
| 10080 | 168 | 15 | 16 | 16 | 17 | 17 | 18 | 18 | 19 | 19 |

Parameter für abweichende T und D

Lokationsparameter ξ (Xi)

15,69620837

Skalenparameter α (Alpha)

5,73250189

Formparameter κ (Kappa)

-0,1

1. Koutsoyiannis-Parameter θ (Theta)

0,05454241

2. Koutsoyiannis-Parameter η (Eta)

0,81889338

Parameter für dauerstufenübergreifende Extremwertschätzung nach KOUTSOYIANNIS et al. 1998.

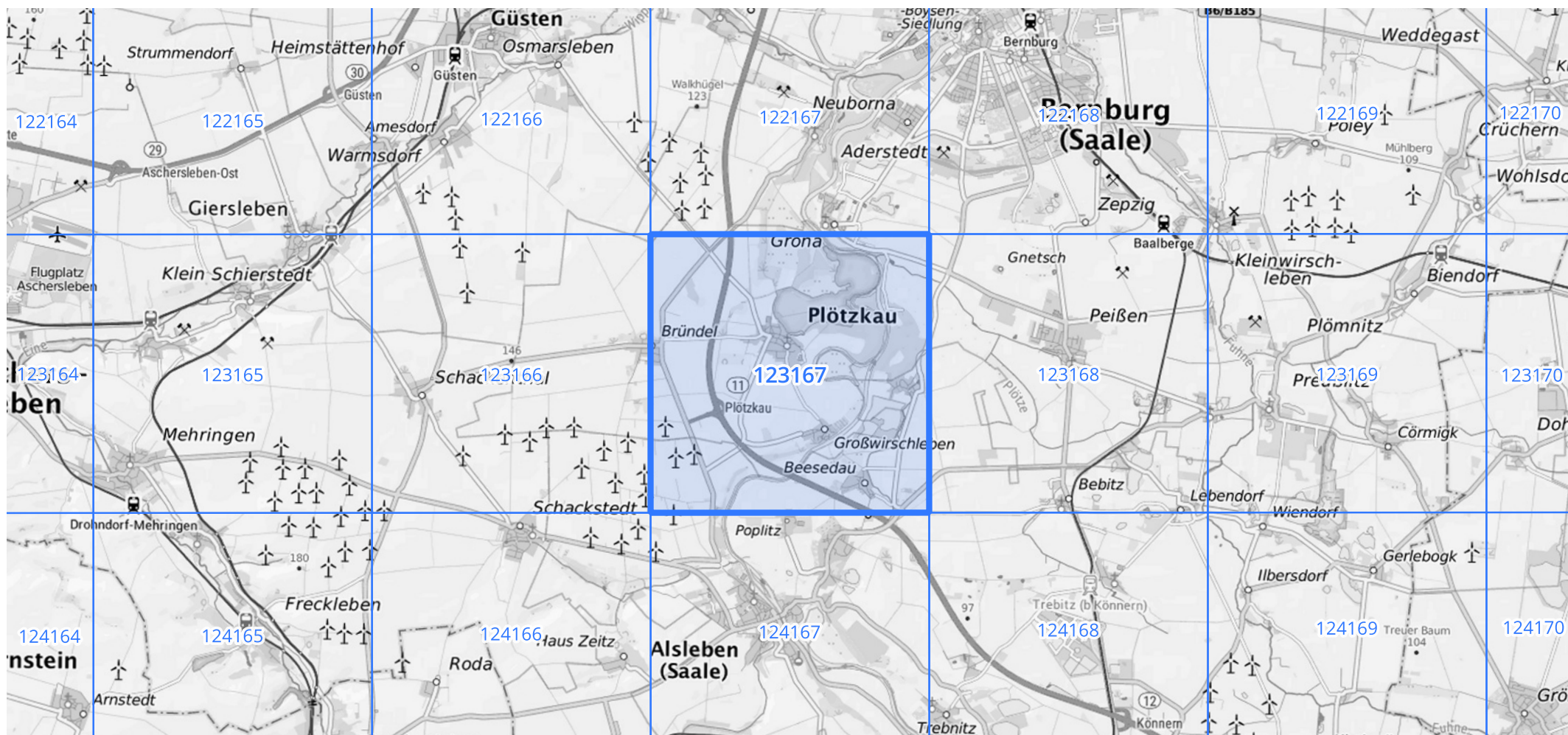
Siehe auch Anwendungshilfe zu KOSTRA-DWD-2020 des Deutschen Wetterdienstes.

Starkniederschlagshöhen und -spenden gemäß KOSTRA-DWD-2020

Rasterfeld 123167

(Zeile 123, Spalte 167)

Übersichtskarte des Rasterfeldes 123167, M 1 : 100 000



Quelle Rasterdaten: KOSTRA-DWD-2020 des Deutschen Wetterdienstes, Stand 12/2022.

Seite 3 von 3

Kartendarstellung: © Bundesamt für Kartographie und Geodäsie (2023), Datenquellen: https://sgx.geodatenzentrum.de/web_public/gdz/datenquellen/Datenquellen_TopPlusOpen.html

Für die Richtigkeit und Aktualität der Angaben wird keine Gewähr übernommen. Erstellt 01/2023.